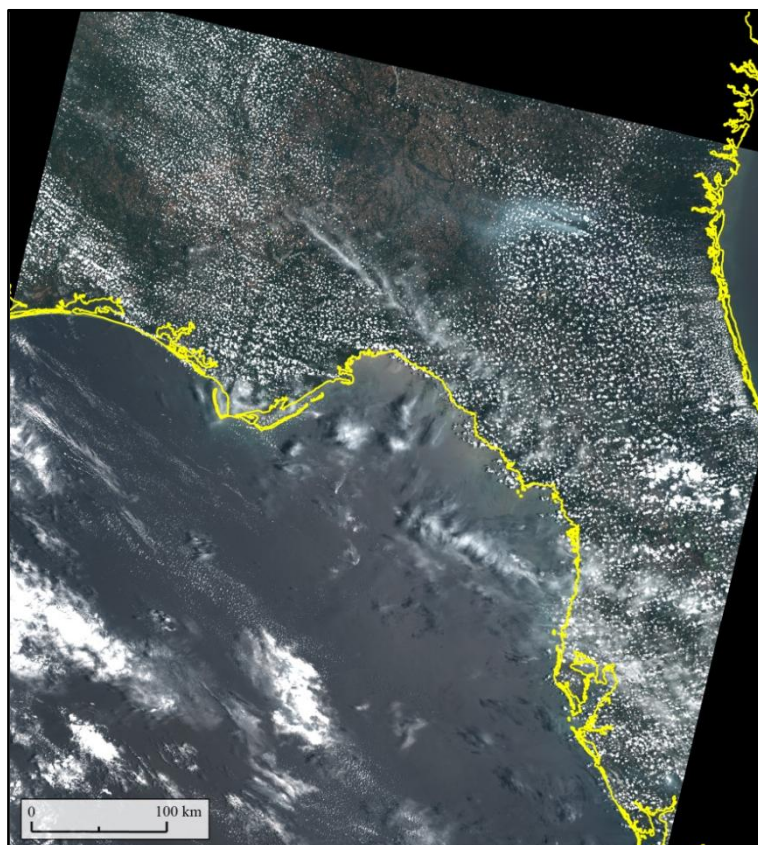
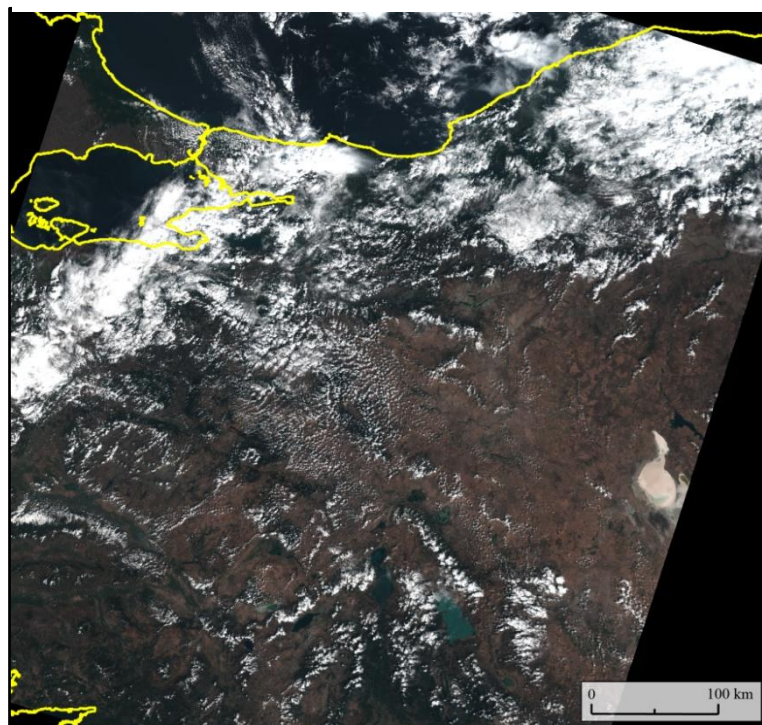


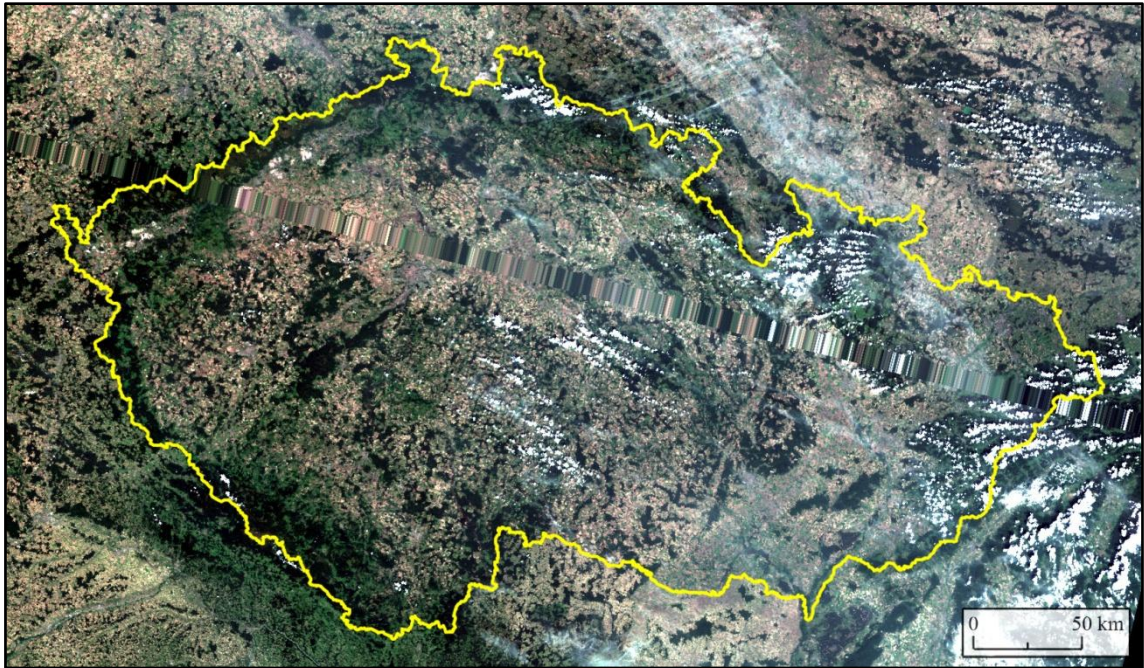
Příloha 1: Vybrané družicové snímky (kombinace pásem 8,5,4)



Příloha 1a: Ukázka snímku nad územím USA (Florida) pořízeného družicí MERIS 29. 5. 2007 (snímek poskytl ESA)

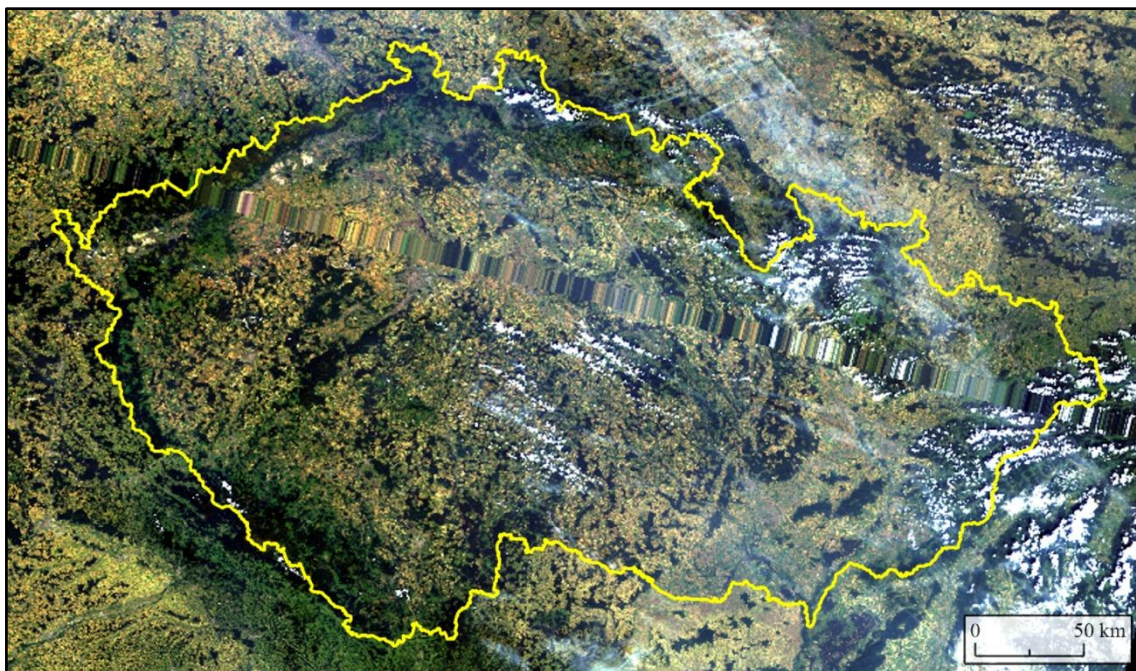


Příloha 1b: Ukázka snímku nad územím Turecka pořízeného družicí MERIS 10. 9. 2009 (snímek poskytl ESA)

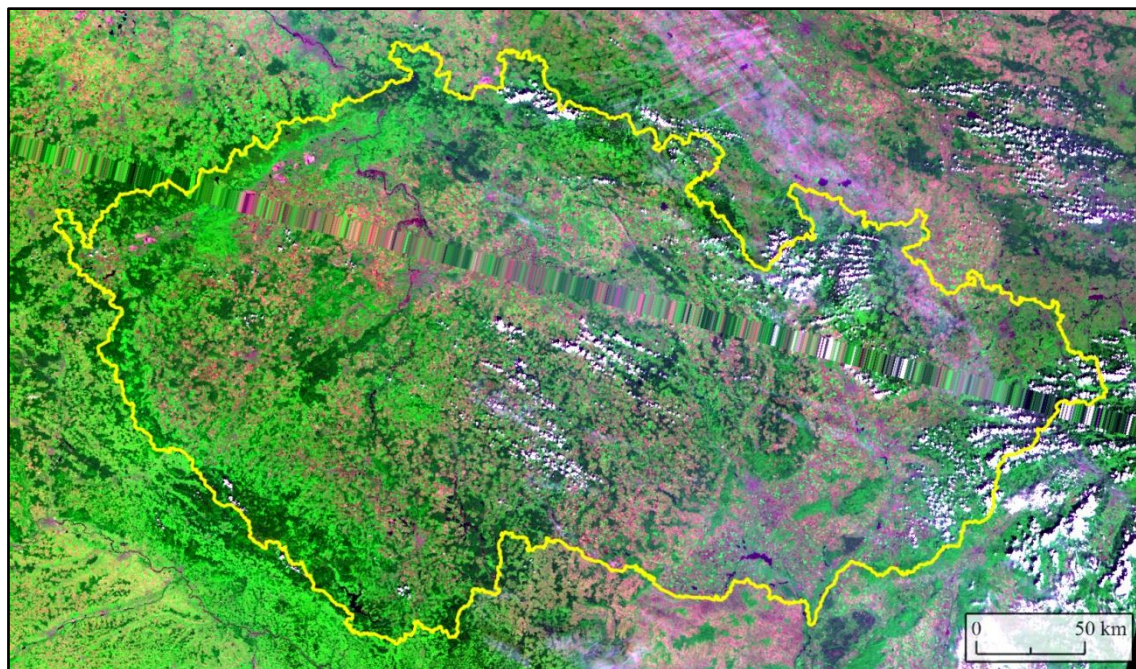


Příloha 1c: Ukázka snímku nad územím ČR pořízeného družicí MERIS 19. 8. 2002 (snímek poskytl ESA)

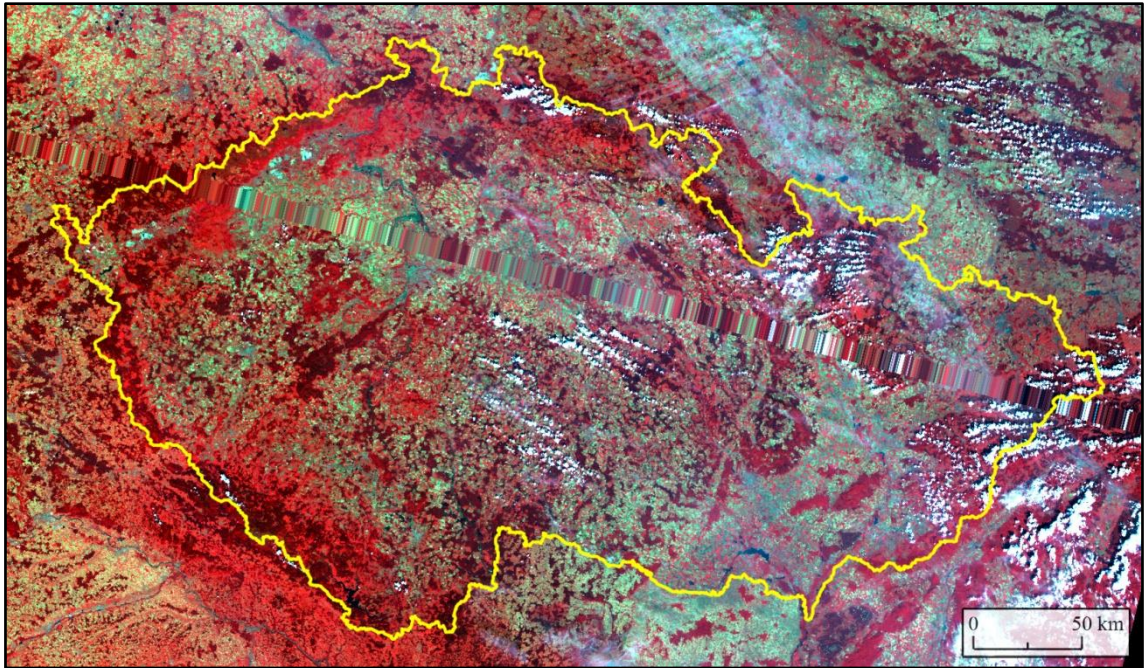
**Příloha 2: Náhledy barevných kompozic dat MERIS na příkladu pro území ČR
19. 8. 2002**



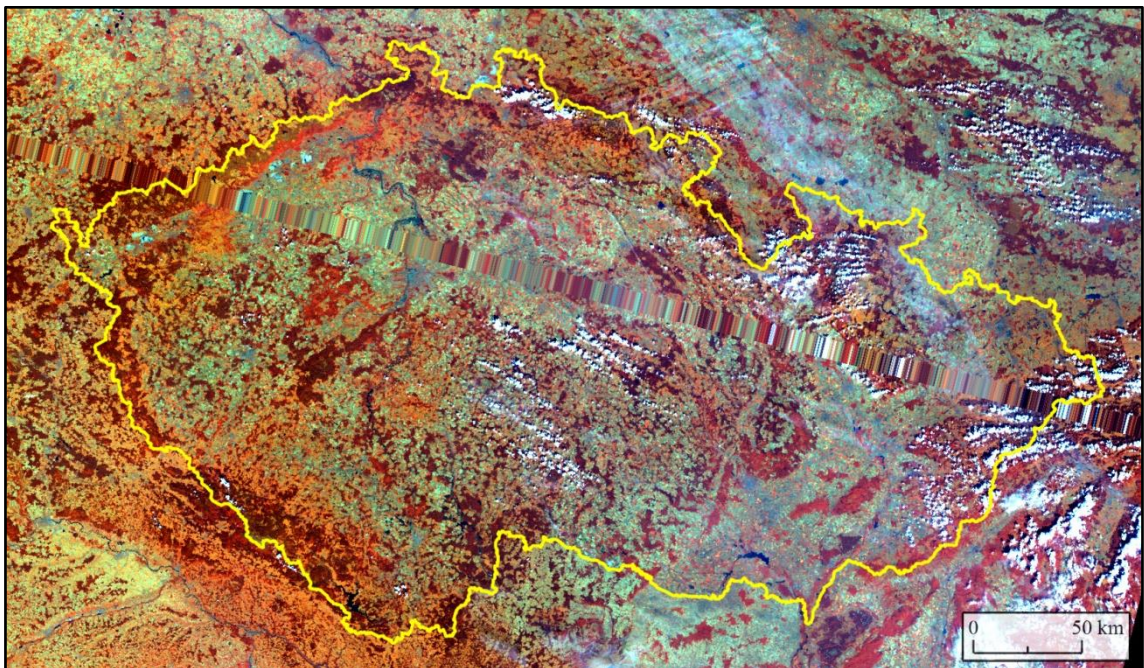
Příloha 2a: Náhled barevné kombinace MERIS 8,5,1 družicového snímku (snímek poskytl ESA)



Příloha 2b: Náhled barevné kompozice 8,12,2 družicového snímku MERIS (snímek poskytl ESA)

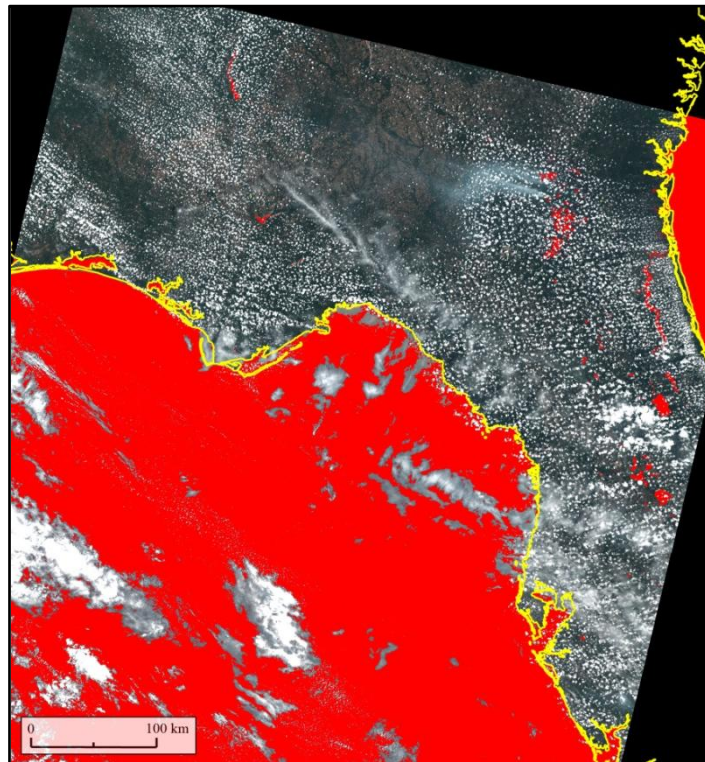


Příloha 2c: Náhled barevné kompozice 12,8,3 družicového snímku MERIS (snímek poskytl ESA)

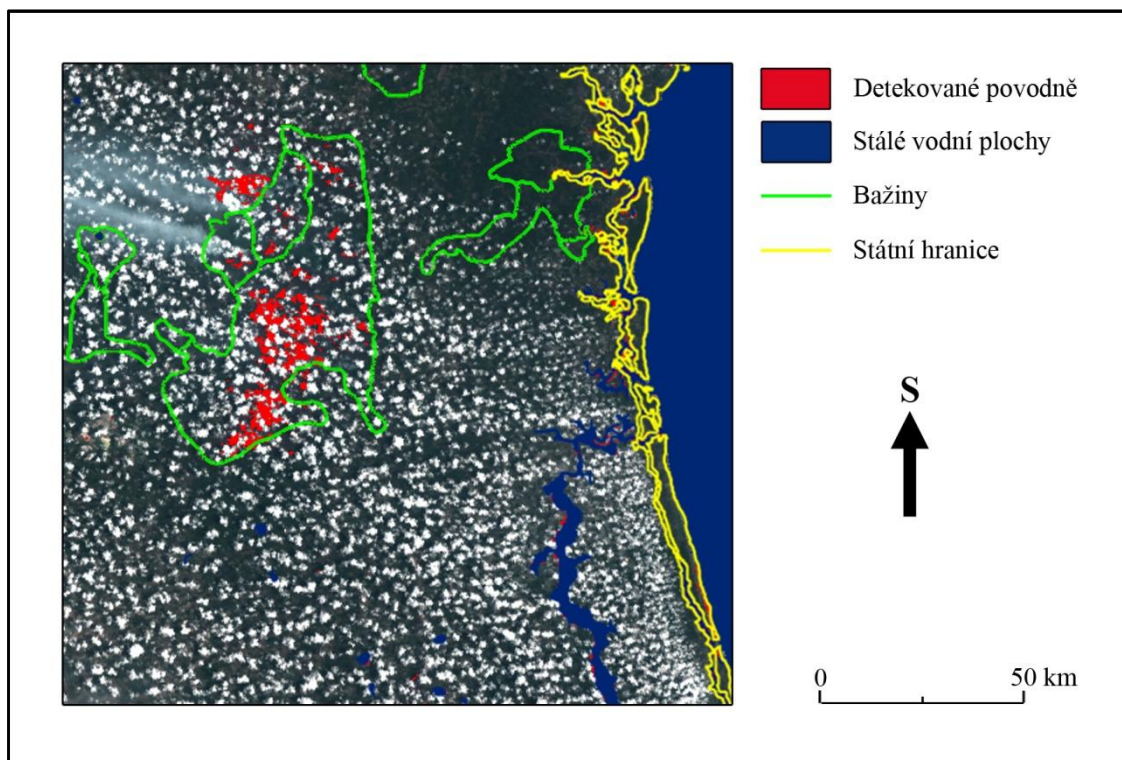


Příloha 2d: Náhled barevné kompozice 14,9,3 družicového snímku MERIS (snímek poskytl ESA)

Příloha 3: Výsledky praktické části pro území USA (Florida) 29. 5. 2007

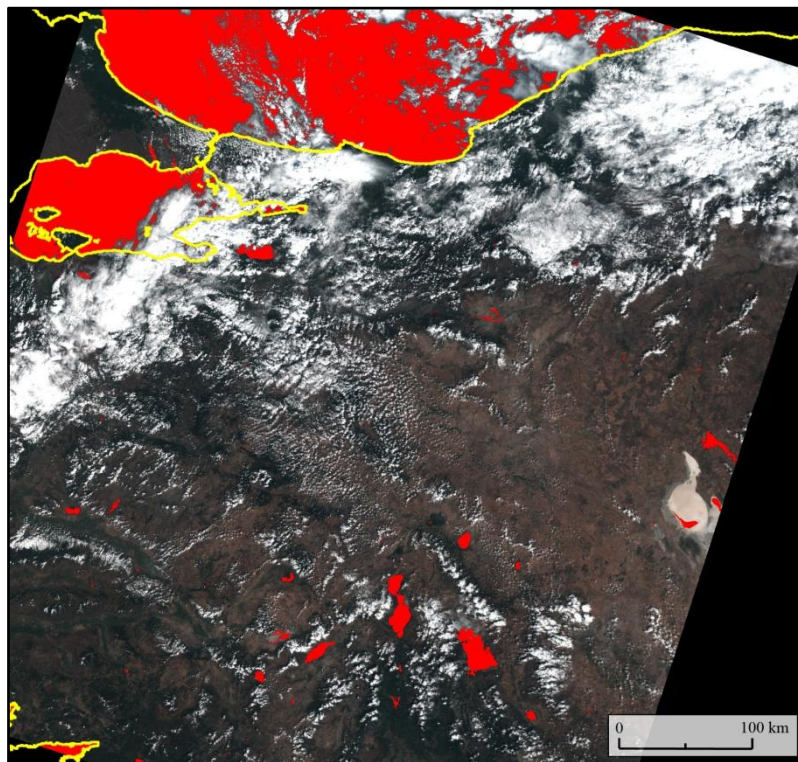


Příloha 3a: Vodní plochy (červeně) extrahované metodikou dvojitého prahování na snímku MERIS (snímek poskytl ESA)

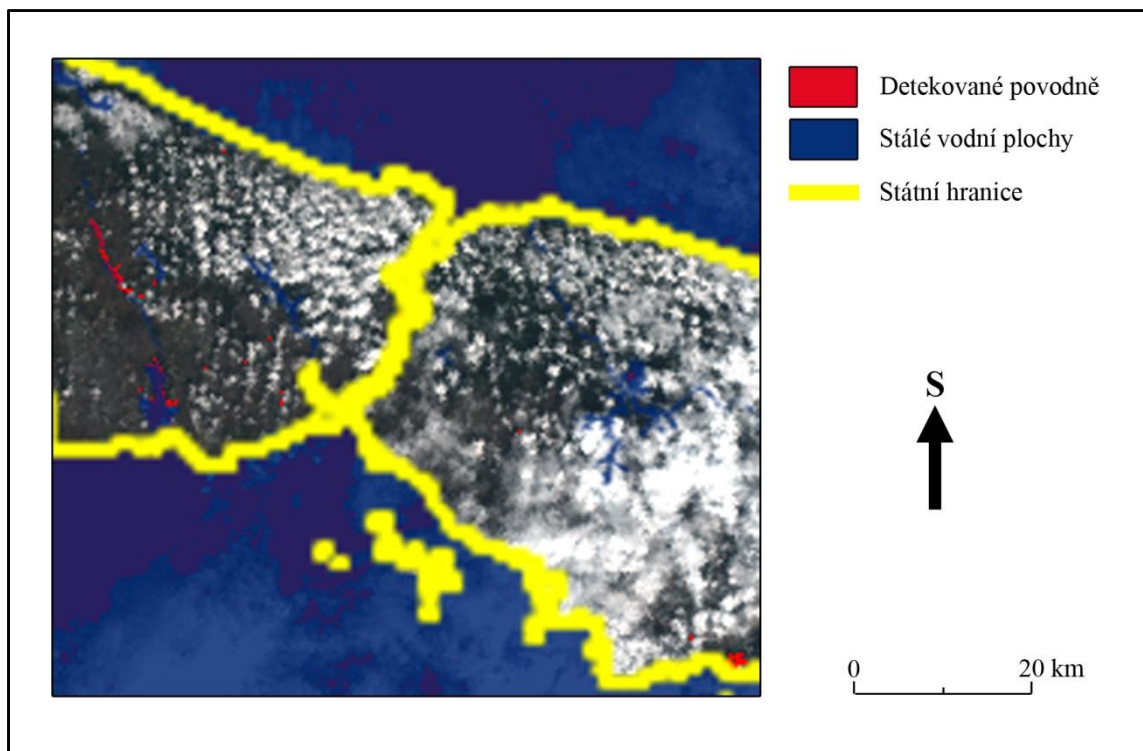


Příloha 3b: Povodně detekované na území Okefenokee National Wildlife Refuge pomocí družicového snímku MERIS (snímek poskytl ESA)

Příloha 4: Výsledky praktické části pro území Turecka 10. 9. 2009

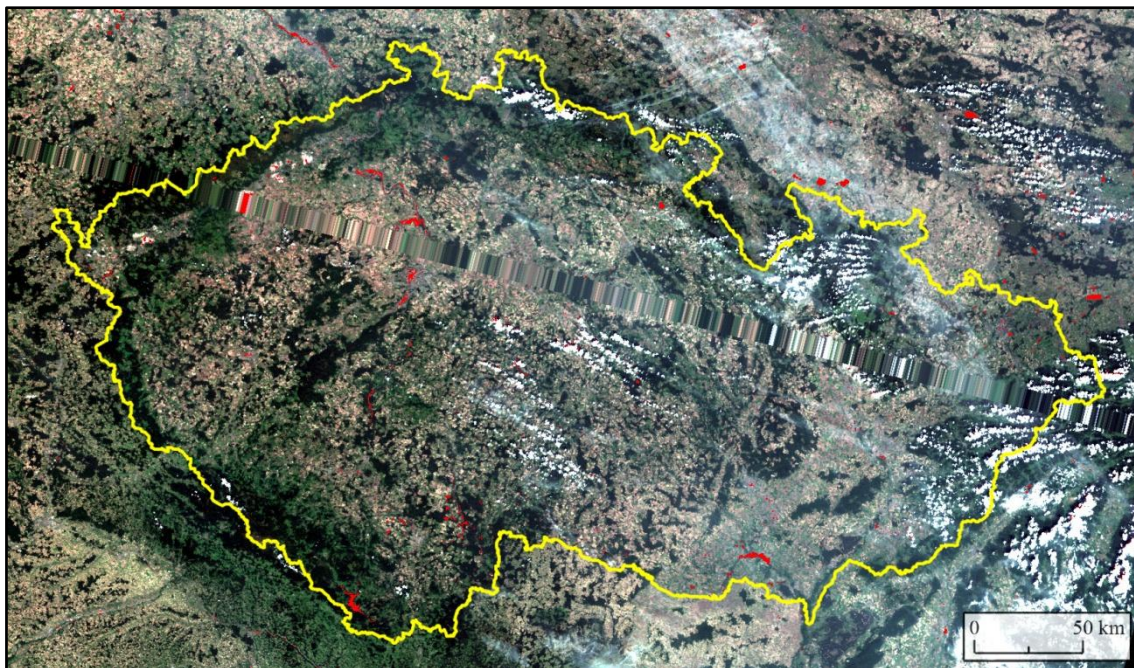


Příloha 4a: Vodní plochy (červeně) extrahované metodikou dvojitého prahování na snímku MERIS (snímek poskytl ESA)

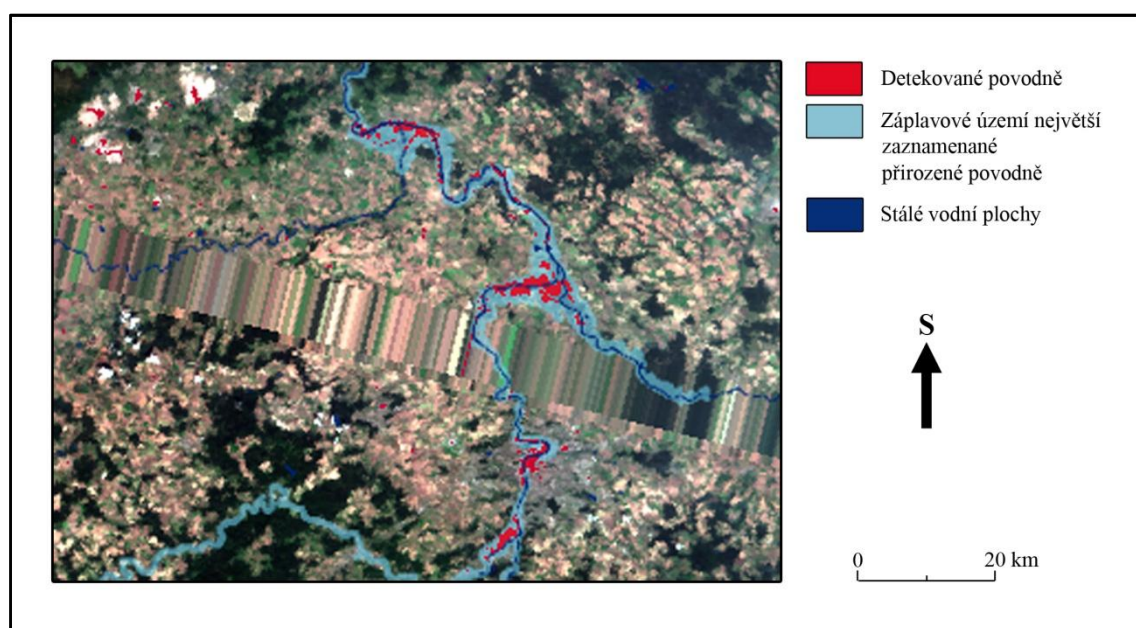


Příloha 4b: Povodně detekované v okolí Istanbulu pomocí družicového snímku MERIS (snímek poskytl ESA)

Příloha 5: Výsledky praktické části pro území ČR 19. 8. 2002



Příloha 5a: Vodní plochy (červeně) extrahované metodikou dvojitého prahování na snímku MERIS (snímek poskytl ESA)



Příloha 5b: Povodně detekované na řece Vltava a Labe pomocí družicového snímků MERIS (snímek poskytl ESA)